УДК 681.785.554

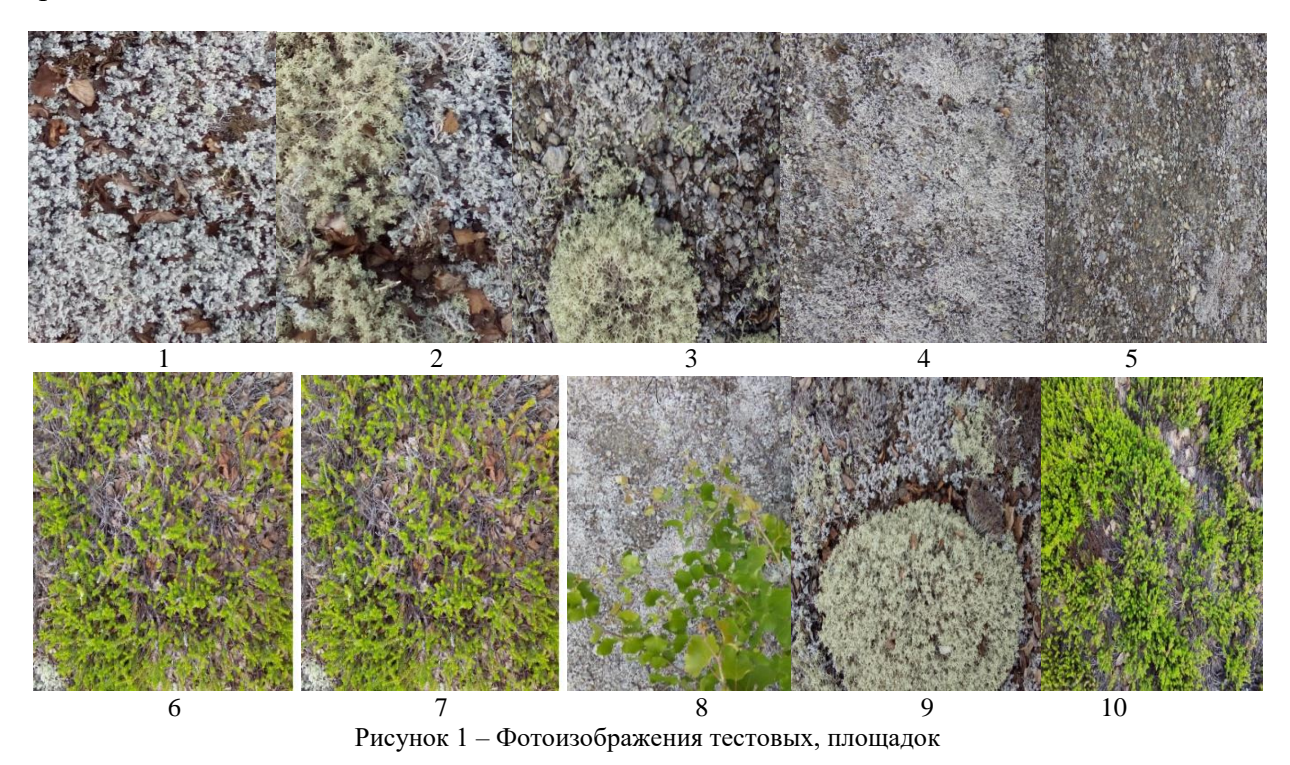
<u>Малышев В. Б.<sup>1</sup></u>, Фомин Б. Н.<sup>1</sup>, Беляев Ю. В.<sup>2</sup>, Гуляева С. И.<sup>2</sup>

## СПЕКТРАЛЬНЫЕ ИССЛЕДОВАНИЯ ЛАНДШАФТОВ ВУЛКАНА КСУДАЧ, ЮЖНАЯ КАМЧАТКА

Институт географии РАН, Москва, Россия
НИУ «Институт прикладных физических проблем им. А. Н. Севченко» БГУ, Минск, Беларусь

В работе представлены результаты экспериментальных комплексных исследований элементов ландшафтов их спектральных характеристик с комплексным описанием объектов подстилающей поверхности вулкана Ксудач, южная Камчатка, для целей создания обучающей выборки спектральных характеристик поверхностей природных ландшафтов для объектно-ландшафтного дешифрирования космических гиперспектральных данных вулканически активных зон Исследования проводились комплексной экспедицией ИГ РАН, ИМГиГ ДВО РАН и НИИПФП им. А.Н. Севченко, БГУ по программе Союзного государства «Мониторинг- СГ» в рамках проекта ИГ РАН СЧ НИР «Мониторинг- СГ 1.3.1.2». Спектральные измерения проводились фотоспектрорадиометром (ФСР), разработанным в отделе аэрокосмических исследований НИИ прикладных физических проблем им. А.Н. Севченко БГУ (г. Минск, Республика Беларусь).Исходные полевые данные загружены в Базу Спектральных Эталонов по адресу: http://spectral.igras.ru.

Первые спектральные измерения проводились фотоспектрорадиометром (ФСР) [1] на эрозионной площадке (водораздел рек Западная Ходутка — Теплая, высота 196 м). Порода площадок: уплотненная тефра вулкана Ксудач, представленная грубым пеплом и лапилли. Растительность: мохово-лишайниковое сообщество с доминирующим участием накипных и кустистых лишайников (виды родов Cladonia, Cladina, Stereocaulon и др) при различном проективном покрытии от 65% до 25% и различном сочетание видов и родов. На рисунке 1 приведены фотоизображения 10 тестовых, площадок на которых проводились спектральные измерения.



На рисунке 2 приведены кривые спектральной плотности энергетической яркости (СПЭЯ) всех 10 тестовых площадок. Спектры пересчитывались в абсолютные единицы СПЭЯ и корректировались вторые порядки ФСР [2].

Секция 5. Аэрокосмические исследования и технологии ДЗЗ

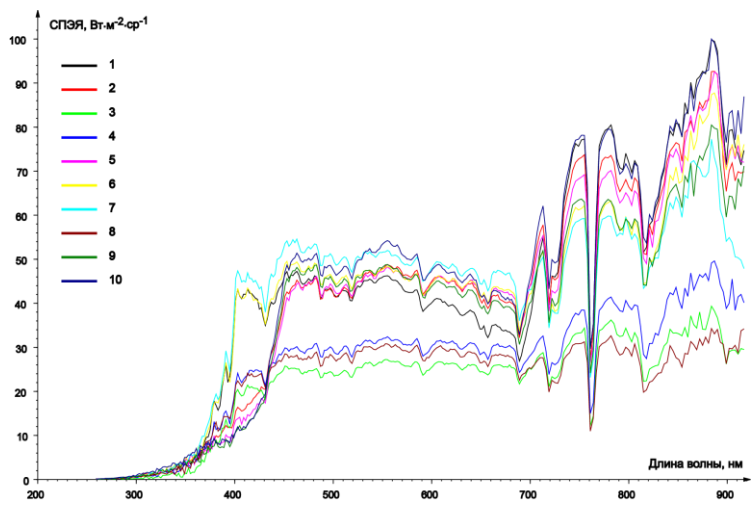


Рисунок 2 – Кривые спектральной плотности энергетической яркости (СПЭЯ) 10 тестовых площадок.

Следующие 5 тестовых площадок также выбирались на склоне вулкана Ксудач с уплотненной тефрой, представленной грубым пеплом и лапилли. Растительность на площадках представлена шикшевым сообществом (Empetrum nigrum). Фенофаза: вегетация до цветения, начало цветения. Проективное покрытие от 65 %. до — 85. Также измерения проводились на площадке с молодыми кустами Betula ermanii (5 площадка).

На рисунке 3 приведены фотоизображения 5 тестовых, площадок на которых проводились спектральные измерения.

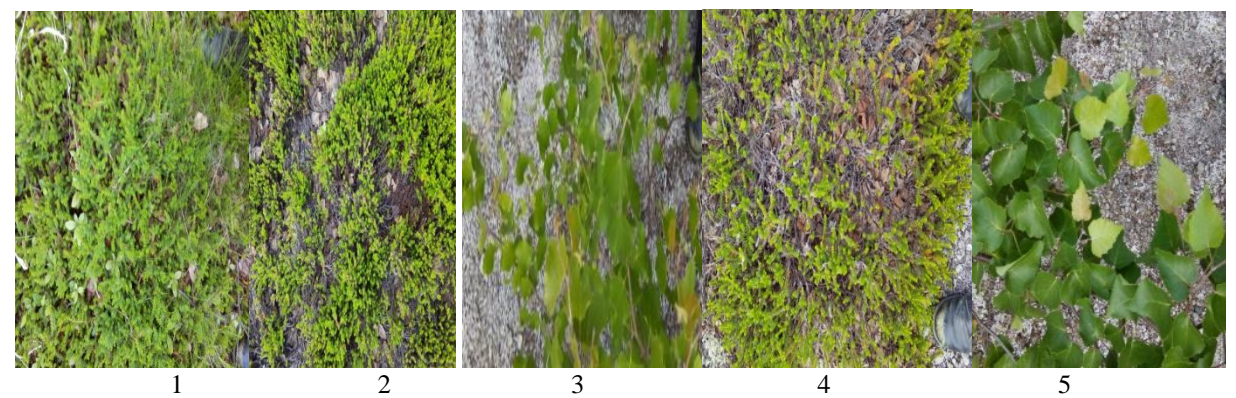


Рисунок 3 – Фотоизображения 5 тестовых, площадок на которых проводились спектральные измерения.

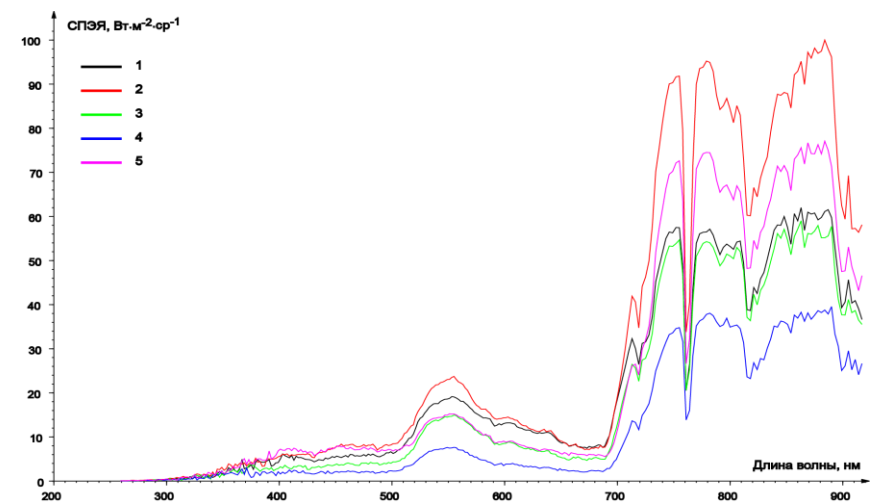


Рисунок 4 – Кривые спектральной плотности энергетической яркости (СПЭЯ) 5 тестовых площадок.

Третья группа тестовых площадок выбиралась на левом берегу реки Теплой, 6,5 км от истоков, на высоте 300 м, и расположена в верхней части пирокластического чехла, вскрыто-

го и частично переотложенного ветровой эрозией, представляет собой тефру дацитового состава извержения вулкана Штюбеля 1907 г. Растительность представлена моховолишайниковым сообществом с доминирующим участием накипных и кустистых лишайников (виды родов Cladonia, Cladina, Stereocaulon и др.). Растительные сообщества не сформированы. На площадках отмечены отдельные куртины трав и древесной растительности: подрост душекии и каменной березы.

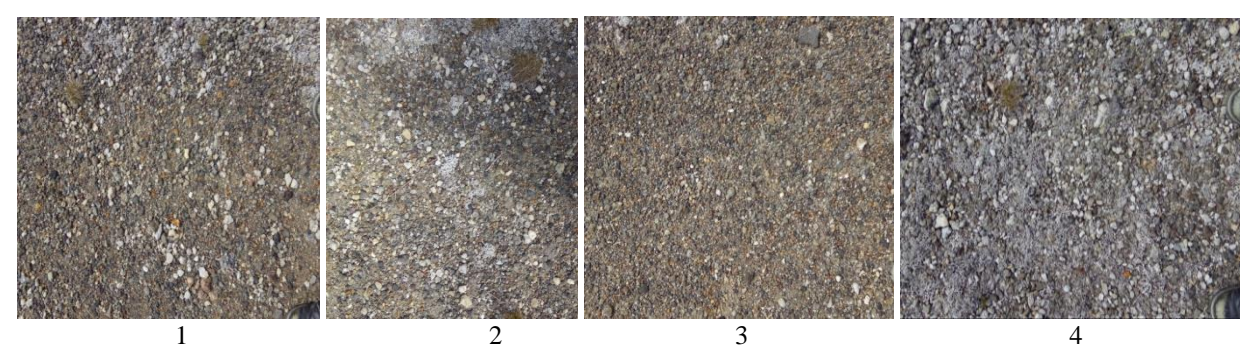


Рисунок 5 – Фотоизображения 4 тестовых площадок, на которых проводились спектральные измерения

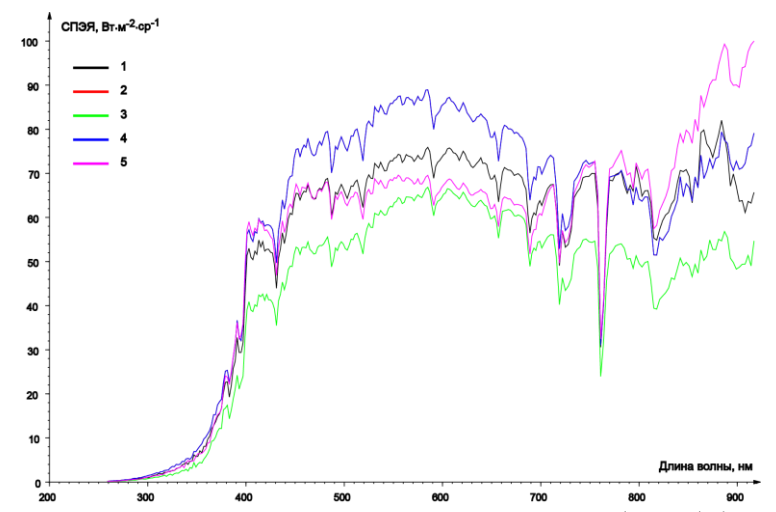


Рисунок 6 – Кривые спектральной плотности энергетической яркости (СПЭЯ) 4 тестовых площадок.

Аналогичные исследования были проведены и на вулкане Ильинском [3]. Пересчитанные и нормализованные полевые данные загружены в Базу Спектральных Эталонов по адресу: http://spectral.igras.ru для целей создания обучающей выборки спектральных характеристик подстилающих поверхностей природных ландшафтов для объектно-ландшафтного дешифрирования космических спектрозональных и гиперспектральных данных вулканически активных зон.

## Список литературы

- 1. Беляев Б.И., Станчик В.В., Крот Ю.А., Веллер В.В., Доморацкий А.В., Казак А.А., Попков А.П. Мобильный фотоспектрорадиометр и двухканальный модульный спектрорадиометр для полевых измерений спектров отражения объектов // Четырнадцатая Всероссийская открытая конференция "Современные проблемы дистанционного зондирования Земли из космоса", Сборник тезисов докладов конференции. Москва, ИКИ РАН, 14-18 ноября 2016. Доступ: http://smiswww.iki.rssi.ru/d33\_conf/thesisshow.aspx?page=0&thesis=5686
- 2. Бручковская С. И., Литвинович Г. С., Бручковский И. И., Катковский Л. В. Алгоритм коррекции дифракции второго порядка в спектрометре с вогнутой дифракционной решеткой // Журн. приклад. спектроскопии. Минск, 2019. Т. 86, №4. С. 620–627.
- 3. Малышев В.Б. Беляев Ю.В. Бручковская С.И. Спектральные исследования ландшафтов Ходуткинского вулканического массива Южная Камчатка. Москва, 2021. Т.18, № 1. С. 103-115